

琵琶湖富栄養化のモデルについて(Ⅱ) —湖内の水質—

京都大学工学部 正員 井上頼輝

1. はしがき

筆者は前論文¹⁾において水質汚濁を7型に分類し、その各々の原因物質、影響、対策などを明らかにした後、各汚染型に対して自然現象、人間活動、汚濁発生機構、対策、水質の変化、影響の6 sectorについてSystem Diagramを示し、その中の1つである富栄養化をとり上げて、人間活動と栄養塩発生機構のモデルを明らかにした。今回は水質の変化についてモデル化を急ぐ。水質には理化学的水質と、生物学的水質とがあるが、モデル化の困難なのは後者の方である。

2. 理化学的水質

前論文において、栄養塩の琵琶湖への流入量は求められている。琵琶湖は北湖は時計廻り、反時計廻り、時計廻りの三つの渦を持ち、南湖は回流

図-1 琵琶湖における窒素の代謝

する:ことなく、成層することもなく
ほとんど河川のように流れている。
北湖をこの渦の流れに添って三つの
完全混合槽が直列に並んだものと考
えろ:ことも本來うが、ここでは単純
に、北湖と南湖は二つの大きな完全
混合槽が直列に並んだものとしてお
く。南湖は容積 $1.6 \times 10^8 m^3$ 、又北
湖は容積 $2.78 \times 10^8 m^3$ を持つ。南
湖は水温の水深方向の変化はなく、
上下層一体となって流れているもの
とみてよい。北湖は琵琶湖生物資源
調査²⁾によれば、1, 2, 3月は循環期
で 上下方向の水温の変化は小さく、
が、他の時期には成層し

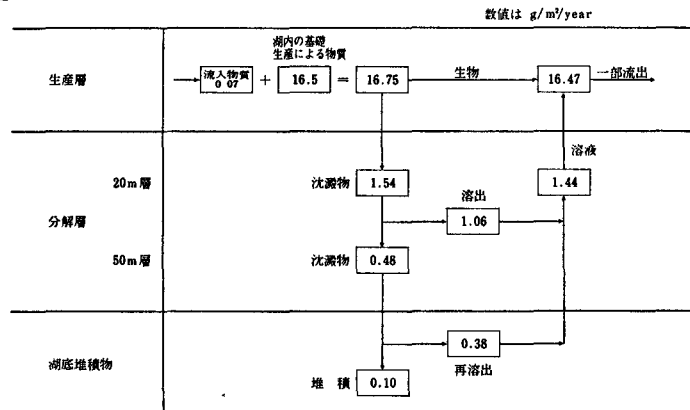


図-2 琵琶湖における鈍の代謝

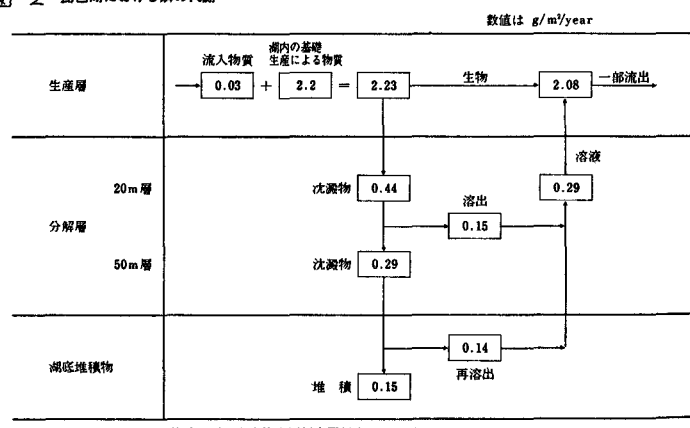


表-1 底泥の柱状試料分析

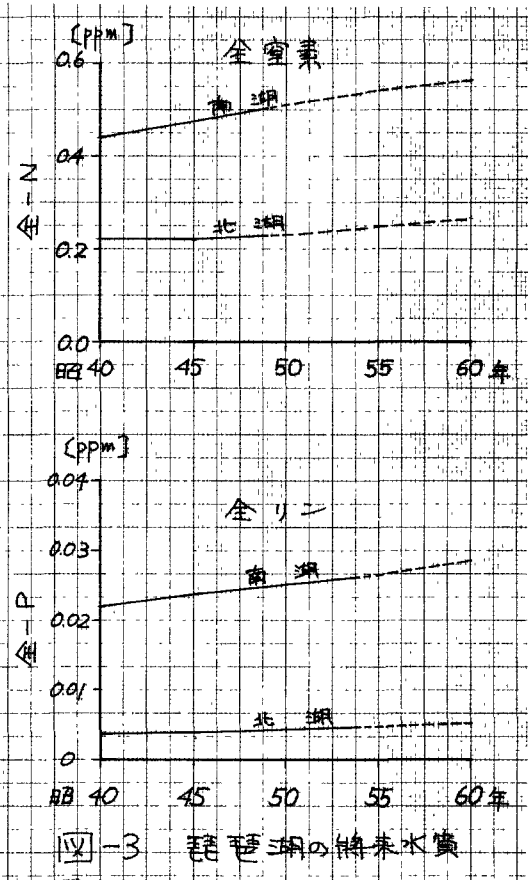
1964. 5. 30採取
(N.P.SiO₂は乾量に対する百分率)

湖底表面よりの深度cm	含水量%	N	P	SiO ₂
0 - 1	79.9	0.263	0.15	59.5
1 - 2	74.6	0.205	0.12	41.9
2 - 3	74.4	0.083	0.15	43.2
3 - 4	70.2	0.085	0.16	45.7
5 - 6	68.2	0.047	0.11	58.2
7 - 8	63.4	0.051	0.08	55.2
9 - 10	63.4	0.047	-	-
11 - 12	64.2	0.051	0.08	44.9
14 - 15	60.2	0.041	-	-
17 - 18	59.5	0.042	0.11	59.2

ている。表水層の水温躍層は10~20mとこうに存在し、その容積は $4.9 \times 10^9 m^3$ である。南湖の水深は最大7.5mであり、従って北湖の表水層の水が南湖に流入するを見てよい。そして、年間一回、あるいは二回、鉛直混合が起りて上下の水質は均一化するものと考えられる。しかし、成層期における窒素および珪藻の鉛直分布にして大きな差はない。通常言われていうように成層期に栄養塩が沈殿して、下層に栄養塩の高い水塊が出来、これが上層の水と混合される結果、生産層である上層の栄養塩濃度が上昇するという現象はあまり顕著でないようである。そこで、北湖も南湖も水平ばかりではなく、鉛直方向にも完全混合されていいとしておく。水質の変化を年間単位で追う場合、一年に少くとも一回は上下の水の循環があるから、このように仮定しても大きな誤差はないと言えられる。

湖中に入った栄養塩の一部は、表層で植物プランクトンに利用されて、植物プランクトンの藻体となる。これが死滅すると一部は直ちに水中に溶出するか、もしくは沈殿物となって湖底に堆積し、分解者である細菌の働きにより無機化する。無機化した栄養塩の一部は、堆積物中を上方に拡散して再び湖水中に入るが、多くは永久的堆積物として湖底に残る。このように、湖水中に存在する栄養塩のうち、湖底に堆積するものの割合がわかれば湖水中栄養塩濃度を推定することが出来る。この値は極めて推定困難であるが、琵琶湖生物資源調査團物質循環班は次のような興味ある方法により、直接推定することを試みていく。²⁾ まず、まず湖底泥の柱状試料を昭和39年5月30日に採取し、その窒素、リン及び珪酸の含有率を表1のように求めめる。窒素およびリンは主として有機物として沈殿し、底泥中で無機化して一部は湖水中に溶出するが、硅酸は一度沈殿すれば湖水中に再溶出しない。琵琶湖の一年間の新生沈殿物量から、その中の硅酸を定量して、硅酸の沈殿量 $101.5 g/m^2/year$ を求めてこれで表1の柱状試料厚さ1cm当たりの硅酸量を除することにより、堆積に要した時間(年)を求める。表層から1cmの堆積には14年、6cmまでに約100年、18cmの柱状試料全體では約230年かかるといふものと推定される。柱状試料中の珪藻の種類組成が年代と共に随分と変っていらないところから、生物生産の年代変化はあまりないかないと推定し、新生沈殿物中の窒素 $0.48 g/m^2/year$ 、リン $0.29 g/m^2/year$ を知り、各年代別に底泥に残っている窒素、リンの量と比較することにより、堆積物より再溶出するものは窒素 $0.38 g/m^2/year$ 、リン $0.14 g/m^2/year$ であり、湖底堆積物として半永久的に残るのは、窒素 $0.10 g/m^2/year$ 、リン $0.15 g/m^2/year$ であることを知った。(図-1、図-2参照)

この結果から、生産された有機物中の窒素のうち、分解層に運ぶものは13%程度であり、湖底に堆積物として半永久的に残るのはわずかに1%にすぎぬことを指摘している。しかし、図-1、-2で明らかのように、すでにこの段階で收支が合っていない。沈殿堆積物中に永久に残る栄養塩の量を推定することは、極めて困難なことである。そこで、簡単な水質のモデルを作り、過去の水質データーに合致するように沈殿率 α を定め、これを将来に外挿すること



にする。湖を北湖と南湖にわけ、北湖を添字a、南湖を添字b、流出河川である瀬田川を添字cで示す。湖の体積を V (km^3)、流量 Q ($\text{km}^3/\text{年}$)、流入負荷は窒素を N ($\text{ton}/\text{年}$)、リンを P ($\text{ton}/\text{年}$) 湖中栄養塩濃度は窒素を C_N (ppb)、リンを C_P (ppb) で示す。湖底に半永久的に沈降する栄養塩の割合は、窒素は d_N ($/\text{年}$)、リンは d_P ($/\text{年}$) で示す。たとえば V_a は北湖の体積、 Q_{ab} は北湖から南湖への水の移動量、 d_{pb} は南湖の沈殿率である。北湖の濃度は完全混会を仮定すれば

$$C_{Na1} = \frac{1 - d_{Na}}{V_a + Q_{ab}} (C_{Na0} V_a + N_{a1}) \quad (1)$$

$$C_{Pa1} = \frac{1 - d_{Pa}}{V_a + Q_{ab}} (C_{Pa0} V_a + P_{a1}) \quad (2)$$

が得られる。ここに、添字0は基準年、添字1は次年度を示す。南湖は河川的構相が強いので、北からの栄養塩移入量 $Q_{ab} C_{Na}$ と、直接流入する負荷 N_b の和から、沈殿により除去される $d_{Nb} N_b$ を引いたものを、流量 Q_c で除して求めろ。すなわち

$$C_{Nb} = \frac{Q_{ab} C_{Na} + N_b - d_{Nb} N_b}{Q_c} \quad (3)$$

$$C_{Pb} = \frac{Q_{ab} C_{Pa} + P_b - d_{Pb} P_b}{Q_c} \quad (4)$$

上式に実際の数値をあてはめ、過去および現在に実測された濃度Cの値に合うように d を仮定して、外挿により将来水値を求めると、図-3のようになる。

3. 生物学的水値

3.1 はじめに

ある湖沼において、その中に含まれる栄養塩が変化した場合、どのように生物相が変化することを知るのは極めて困難であろうが、アプローチの仕方としてはつきの三つの方法があろうかと考えられる。すなわち、

① 現地における実測 現地における水値と生物相を常に実測して、その関係を把握しておく。もし現地の水値が、その湖の将来水値と異なるときは、近い条件の他の湖について実測し、比較する。この方法は最も確実な情報を与えるが、多くの現地実測を必要とし、かつ適当な条件を備えた他の類似の湖沼を発見することが困難な場合が多い。

② 模型 (Microcosm) 実験による方法 できるだけ現地の条件に合わせた湖沼の模型 (Microcosm) を作り、その中の水値を将来水値に合わせて、生物相の変化を追うものである。比較的実験はやりやすく、まとめたデータが得られるが、模型の相似率に関するでは理論的解析がなされておらず、相似性の不確かさが大きな欠点となる。相似性を向上させるために、原型湖の一部を仕切って模型としたり、ビニール袋で湖底までの水柱を作り、その中の湖水の水値を変化させて生物相を調べる等の方法がとられる。

③ 数理モデルによる方法 生物と水値との関係を数式的にとらえ、そのタイナミックスを研究するもので、生物は数式では正確にとらえきれない特別な挙動をするから、相似性は②の場合よりも悪い。しかし、環境条件の変化に生物がどのように応答するかを定量的に知るためにには有力な手段となる。

以上3つの方法は、それぞれ得失を持つが、ここでは③により数理モデルを作成し、②によりモデルの同定を試みる。

3.2 数理モデル 理化学的水値 (栄養塩濃度) と生物を結びつけるものに2つの方法がある。1つは Chlоро-*phil-a* などで示される植物プランクトン量や、生物生産性と栄養塩濃度を結びつけようとするものであり、1つは生産者である植物プランクトンと捕食者である動物プランクトンの消長を Volterra-Lotka の式を

用いて解明しようとするものである。前者は年変化のような長期的な生物学的水値の推移をさうにすぐれ、また後者は季節的あるいは週単位の生物相の移行をみるのにすぐれてい。T. Ahl⁽⁴⁾は、主としてスエーデンの湖について窒素の負荷 N ($g/m^2/year$) と、リンの負荷 P ($g/m^2/year$) と夏期における $Chlorophyll-a$ の間に：

$$Chl-a = 3.51 N^{0.324} P^{0.338} \quad (5)$$

の関係があることを明らかにした。これに従えば、北湖および南湖の夏期の $Chlorophyll-a$ の濃度は図-4のようになることが予想される。

3.2.1 栄養塩と植物プランクトン 動物プランクトン

と植物プランクトンの関係を示した研究として有名な

Volterra-Lotka⁽⁵⁾ の式がある。栄養塩があると植物プランクトンが成長するが、動物プランクトンが現れてこれを捕食するためにその成長は阻止され、植物プランクトンが減少すると、それを食餌としている動物プランクトンも減少する。動物プランクトンが減少すれば植物プランクトンが増加し、ついで動物プランクトンも増加する。動物および植物プランクトンはこのようなくじら返すとあるものである。植物プランクトンの濃度を A (mg/l)、動物プランクトンの濃度を Z (mg/l) で示し、植物プランクトンの成長率を G_A ($/day$)、死亡率を D_A ($/day$)、動物プランクトンの成長率を G_Z ($/day$)、死亡率を D_Z ($/day$) とする。

植物プランクトン濃度 A の時間的変化は

$$\frac{dA}{dt} = (G_A - D_A) A \quad (6)$$

で示す。動物プランクトンによる捕食に原因する植物プランクトンの減少も死亡率 D_A に含めておく。植物プランクトンの増殖率 G_A に関する因子としては、水温 T ($^{\circ}C$) 太陽照度 I ($Kcal/cm^2/day$)、栄養塩濃度 P (mg/l) などがある。温度に関しては成長率 G_A が水温に比例するここと、Di Toro⁽⁶⁾ などにより表-2、図5のように従来の多くの文献から集約されて示されている。その比例定数は

$$K_1 = 0.10 \pm 0.025 \quad (1/day, ^{\circ}C) \quad (7)$$

である。あまり高温になると、植物プランクトンの生長率はにぶり 比例関係は $25^{\circ}C$ までしかあてはまらないといわれらるが、琵琶湖の水温はこれ以上にあまり上らないから、式(7)は通用できる。

光強度はあまり強いと生長を阻害することが知られていろが、この現象は水のごく表面で紫外線の作用により起るものであり、生産量全体ではあまり問題にならず、生長率は入射光のエネルギー I に比例するものとみてよい。中西⁽⁸⁾も琵琶湖塩津湾における 1971 年 7 月から 1973 年 6 月にわたる調査において、光合成の強光阻害は 1972 年 2、5 月の大型植物プランクトンで見られただけであったと報じている。入射光エネルギーの転換効率は、入射エネルギーとして琵琶湖東岸彦根地方の年間全天日射量を用い、その 4.6% が光合成有効日射量として、固定された炭素 $1 g$ が $10 Kcal$ に相当すると仮定して 総生産量に対する効率を求めると、中西は 1971～1972 年で 0.62%，1972～1973 年で 0.25% であったと報告している。

栄養塩と成長率との関係に関して、種々のことが云われていろが Monod の式に従うとするのが一般的である。栄養塩濃度が適当であれば、光と温度の条件下で成長率は飽和値をとる。しかし、栄養塩濃度が低いと濃度

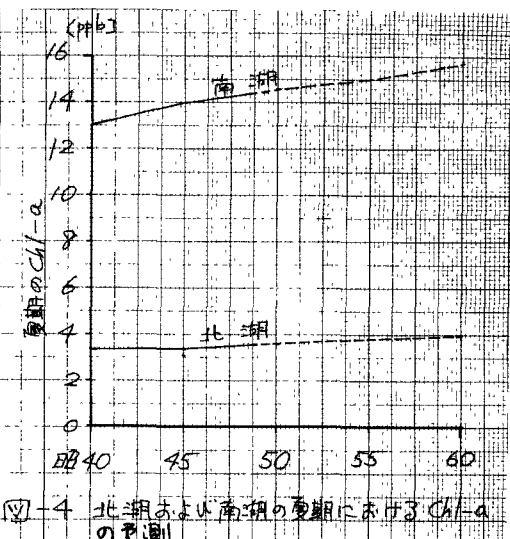


図-4 北湖および南湖の夏期における $Chl-a$ の測定

に比例して成長するのを見られる。ところで栄養塩のうち、琵琶湖では何が重要であるかを考えよう。津田⁹⁾によれば植物プランクトンの平均組成は $C_{26}H_{180}O_{45}N_{10}P_1$ であり、窒素/リンがおよそ 10/1 より大きければリン、小さければ窒素が限定栄養素となるという。琵琶湖ではこの比が 10 より大きいので、リンが限定要素とみてよい。リンの水中濃度を $P [mg/l]$ としたとき成長率は $\frac{P}{K_m + P}$ に比例する。ここに K_m は Michaelis-Menten の定数であり、成長率が飽和成長率の 1/2 にならうな P の値で、Di Toro は多くの文献の集約として $10 \mu g P/l$ を与えている。彼等のえた値を表 3、図 6 に示す。

植物プランクトンの成長率に対する水温 $T (^\circ C)$ 日光の入射エネルギー $I (Kcal/cm^2 \cdot day)$ 栄養塩濃度 $P (mg/l)$ の影響がその様で表わされるとすると

$$G_A = K_T \left(\frac{I}{I_0} \right) \left(\frac{P}{0.01 + P} \right) \quad (8)$$

K は比例定数であり、 I_0 は標準の日照度である。この式で想せないような現象もやはり観測されている。中西は植物プランクトン量とクロロフィル量、日照度の関係を調べて、大型植物プランクトンの総生産量は植物プランクトン濃度に比例するが、小型プランクトンにおいては現存量よりむしろ合成能の季節的変化に左右されることがある¹⁰⁾。

K の値を推定してみよう。1972年7月における水中 $PO_4 - P$ は平均 $P = 0.00116 mg/l$ であり¹¹⁾ 総生産量は

$$\frac{dP}{dt} = 36 g \cdot Carbon / m^2 \cdot month = 1.2 g \cdot C / m^2 \cdot day$$

である。水温は $27^\circ C$ ¹²⁾、日照は $I_0 = 676 cal/cm^2 \cdot day$ であると推定される。植物プランクトン濃度 A は

$$A = 150 mg chl-a / m^2 \times \frac{0.0453 g Carbon}{mg chl-a} = 6.8 g Carbon / m^2 \quad (9)$$

(1 mg Chlorophyll-a は 45.3 mg Carbon に相当する¹²⁾)

この値を式 (8) に代入すると

$$\frac{dA}{dt} = \frac{1.2 g C}{m^2 \cdot day} = \frac{6.795 g C}{m^2} \times K \times (27^\circ C) \times (1) \times \left(\frac{0.001167}{0.01 + 0.001167} \right) \quad (10)$$

これより

$$K = 0.0626 (l/day \cdot ^\circ C \cdot mg) \quad (11)$$

をうる。

植物プランクトンの死亡率に関する要因としては

①自家呼吸率

②動物プランクトンによる捕食

③自然死

などがあるが、③の自然死はプランクトンが現れて系外にいると思われる所以、3.2 の栄養塩濃度の計算に含まれる。

表-2 植物プランクトン飽和成長率と水温の関係

植物プランクトン	水温(°C)	飽和成長率(1/day)
Chlorocella ellipsoidea (green alga) (緑藻)	25	3.14
	15	1.2
Nannochloris alomus (海のペム毛虫)	20	2.16
	10	1.54
Nitzschia closterium (海の珪藻)	27	1.75
	19	1.55
	15.5	1.19
	10	0.67
Natural association	4	0.63
	2.6	0.51
Chlorella pyrenoidosa	25	1.96
Scenedesmus quadricauda	25	2.02
Chlorocella pyrenoidosa	25	2.15
Chlorella vulgaris	25	1.8
Scenedesmus obliquus	25	1.52
Chlamydomonas reinhardtii	25	2.64
Chlorella pyrenoidosa (synchronized culture)	10	0.2
	15	1.1
	20	2.4
	25	3.9

図-5 植物プランクトン飽和成長率と水温の関係

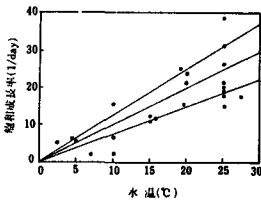
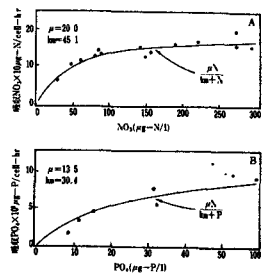


表-3 窒素または燐に対するミカエリス定数

植物プランクトン	栄養塩	Michaelis 定数 $\mu g/l$ N 又は P
Chactoceros gracilis (海の珪藻)	PO ₄	25
Scenedesmus gracile	total N	150
	total P	10
Natural association	PO ₄	6*
Microcoleus acruginosa (らん藻)	PO ₄	10*
Phaeodactylum tricornutum	PO ₄	10
Oceanic species	NO ₃	1.4-7.0
Oceanic species	NH ₃	1.4-5.6
Neritic diatoms	NO ₃	6.3-28
Neritic diatoms	NH ₃	7.0-120
Neritic or littoral Flagellates	NO ₃	8.4-130
	NH ₃	7.0-77
Natural association	NO ₃	2.8
Oligotrophic	NH ₃	1.4-8.4
Natural association	NO ₃	14
Eutrophic	NH ₃	18

図-6 栄養塩濃度と植物プランクトン濃度



自家呼吸は植物プランクトンが光合成により作成した有機物を呼吸により酸化させ自家消費するもので、Di Toro は Riley¹³⁾ の研究により、これが水温 T (°C) に比例することを表4 図7のように示した。

$$\text{呼吸率} = K_2 T$$

$$K_2 = 0.005 \pm 0.001 \text{ [1/day]}$$

動物プランクトンはまわりの水をうろこて、その中の植物プランクトンを捕食している。単位重量の動物プランクトンが1日にうろこする木量 G_2 [l/mg Carbon · day]⁶⁾ は Di Toro 等により表5のように与えられている。ここでは

$G_2 = 0.13 \text{ l/mg C · day}$ にとっておく。捕食による植物プランクトンの減少量は $G_2 A$ で示され。結局、植物プランクトンの死生率は

$$D_A = 0.005 T + 1.3 \quad (13)$$

ところで中西の data⁸⁾によれば、壇津湾の1972年7月における

$D_A = 10 \text{ g C/m}^2 \cdot \text{month} = 0.33 \text{ g Carbon/m}^2 \cdot \text{day}$ となって。式3, 20 のとくに明らかにしたように

$$A = 6.795 \text{ gC/m}^2 \text{ であるから}$$

$$D_A = \frac{0.33}{6.795} = 0.0490 \text{ [1/day]} \quad (14)$$

一方、 $T = 27^\circ\text{C}$ (水深37m とする) $Z = 4.38/\text{m}^2$

$$= 2.15 \text{ gC/m}^2 = 57.0 \text{ mg C/m}^3 = 0.057 \text{ mg C/l}$$

であるから 式(13) より D_A を求めると

$$D_A = 0.005 \left[\frac{1}{\text{day}} \right] \times 27^\circ\text{C} + 0.13 \left[\frac{l}{\text{mg C · day}} \right] \times 0.057 \left[\frac{\text{mg C}}{\text{l}} \right]$$

$$= 0.142 \text{ [1/day]} \quad (15)$$

となる。この値は、式(14)の値のほぼ3倍であるが Order 的には一致する。なお捕食率は正しいとして温度定数を修正すると

$$D_A = 0.0035 T + 1.3 \quad (16)$$

3.2.2 動物プランクトン 動物プランクトンの濃度区は

$$\frac{dz}{dt} = (G_2 - D_2) z \quad (17)$$

動物プランクトンは、植物プランクトンを捕食する食植性(herbivorous)

のものと、動物プランクトンを食する食肉性(carnivorous)とあるが。

後者は数かずつで無視する。一般に生態系では、階級が 植物プランクトン → 食植性動物プランクトン → 食肉性動物プランクトン と上位に従って、現存量がほぼ 1/10 になるので二段まで考えれば十分である。植物プランクトンが 動物プランクトンにより捕食されると割合はすでに 3.2.1 で $G_2 A$ で与えられることを示した。しかし、捕食された植物プランクトンが、全部動物プランクトンにならわけではなく、そこには効率が存在する。この効率は一定ではなく、植物プランクトン濃度が高いため、捕食されたものの一部は不消化、あるいは半消化のまま放されるとする。そこでこの効率は

表-4 植物プランクトンの自家呼吸率

植物プランクトン	水温(°C)	自家呼吸率(1/day)
Nitzschia closterium	6	0.035
	35	0.170
	20	0.08
	16	0.075
	16	0.11
	2	0.03
Natural association	18	0.12
	2.0	0.024 ± 0.012
	17.9	0.110 ± 0.007

図-7 植物プランクトンの自家呼吸率と水温

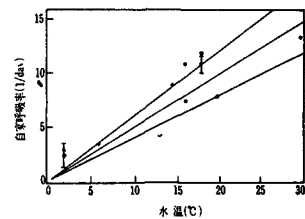
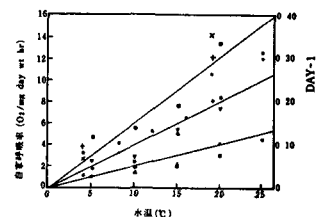


表-5 動物プランクトンの捕食率

動物プランクトン	捕食率	捕食率 L/mg animal dry wt-day	参考文献
Rotifer (ワムシ)	0.05-0.12*	0.6-1.5	3.24
Brachionus calyciflorus	67-208*	0.67-2.0	3.6
Copepod (揃脚類)	27*	0.05	3.25
Calanus sp.	98-670*	0.3-2.2	3.26
Rhincalanus nasutus	0.67-1.6	3.27	
Centropages hamatus			
Cladocera			
Daphnia sp.	1.06	3.28	
Daphnia sp.	0.2-1.6	3.29	
Daphnia magna	81*	0.74	3.30
Daphnia magna	57-82*	0.2-0.3	3.31
National Association (自然の集団)			
Georges Bank	80-110*	0.8-1.10	3.6

*: ml/ml animal dry
wt-day
#: ml/mg wet wt-day

図-8 動物プランクトンの自家呼吸率と水温



$$G_{2A} = \frac{K_{mA}}{K_{mA} + A}$$

で示され G_2 は

$$G_2 = G_{2A} \left(\frac{K_{mA}}{K_{mA} + A} \right) G_A \quad (18)$$

の形で示される。

ここに G_{2A} は $\frac{\text{生産された動物プランクトンの有機炭素}}{\text{消費された植物プランクトンの有機炭素}}$

で Di Toro⁶⁾ によると 26 の実験結果からみて、この値は 0.63 であり、偏差は 20% であるという。 K_{mA} は成長率 G_2 が最大成長率の $\frac{1}{2}$ にならうとする成長率であり、0.25 ~ 0.55 mg dry wt (植物プランクトン)/l² であるとされる。

動物プランクトンの死亡率は自家呼吸率と高次の動物プランクトンによる捕食である。

自家呼吸率は

$$\text{自家呼吸率} = K_3 T \quad T: \text{水温 } ^\circ\text{C} \quad (19)$$

$$K_3 = 0.2 \pm 0.1 [1/\text{day}, ^\circ\text{C}]$$

この関係を図 8 に示す。

高次の動物プランクトンによる捕食はあまり大きくなり、これを定数 K_4 で示しておく。

$$D_2 = K_3 T + K_4 \quad \text{ただし } K_4 = 0.1 \quad (\text{次の階級に捕食されるのは } \frac{1}{10}) \quad (20)$$

かくして

$$\frac{dZ}{dt} = (G_2 - D_2) Z = \left(G_{2A} \cdot G_A \cdot K_{mA} \cdot \frac{A}{K_{mA} + A} - K_3 T - K_4 \right) Z \quad (21)$$

$$G_{2A} = 0.63 \quad G_A = 0.13 \frac{\text{mgC}}{\text{day}} \quad K_{mA} = 0.25 \sim 0.55 \text{ (mg/l)} \quad K_3 = 0.2 [1/\text{day}, ^\circ\text{C}], K_4 = 0.1$$

をうる。

3.3 実験的検討

3.2 で示した数理モデルを同定するために、模型実験を行つた。

3.3.1 模型実験の相似性 湖沼中の生物の遷移を Microcosm で模倣する時、物理模型が流速、流向、拡散といった物理的特性を原型と合わせねばならぬのに、その上に生物相の相似を達成する必要がある。物理模型が曲りたりにも相似率を満する理論を導くべくして、Microcosm の相似性に対する理論はまだ無いといつてもよい。Microcosm は ① 原型の湖沼と同じ水質を保つ ② 生産者である植物プランクトンの生産量を相似させる。③ 消費者を含めた生物相を相似させる そのため長期間 — 時には数週間以上 — にわたり達成される必要がある。このうち③の植物プランクトンの生産性について、つきのような方法が考案される。

W.J. Oswald¹⁴⁾ は酸化池で構成して、湖面に入射する光のエネルギー E_s [$\text{kcal/m}^2 \cdot \text{day}$] と、そのうち光合成に利用されるエネルギー H [$\text{kcal/m}^2 \cdot \text{day}$] との間に

$$H = F \cdot E_s \quad (22)$$

ある比例関係があることを示した。ここに F は総括光合成効率 (Overall photosynthetic efficiency) とよばれるものである。植物プランクトンの生産性を一致させるには、原型と模型の H が等しくなければならぬ。原型に f 、模型に m の添字をつければ

$$F_f E_{sf} = F_m E_{sm} \quad (23)$$

従つても模型に入射する光を調節することにより、生産力を相似性を達成せよ」とすると、

富栄養化の限定期要素がリンであることを思われる。栄養塩濃度は減少を見せると、BODの減少は見られない。生物相についてみると、まず珪藻が2~5日で大発生し、ついで緑藻、鞭毛藻が現われる。動物プランクトンは植物プランクトンより1週間~2週間遅れて増殖し、これに従って植物プランクトンの数が減少するのは、定性的に数理モデルの示す通りである。植物プランクトンの中の葉綠素を示すChl-aも、藻類生体数とほぼ同じ傾向を示す。

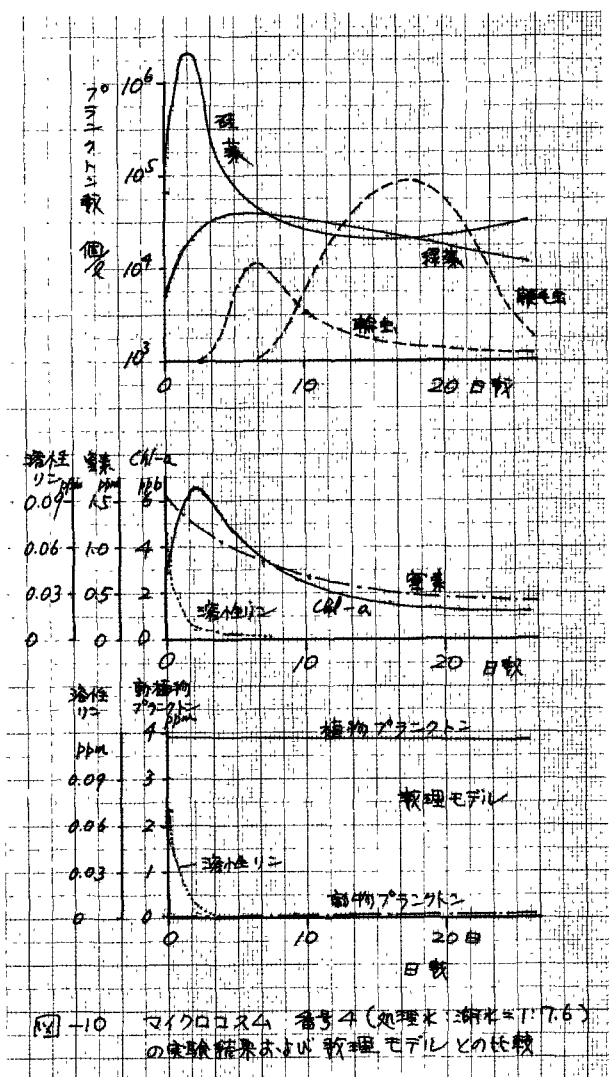
3.3.3. 数理モデルとの比較 実験番号4(処理水:湖水=1:7.6)の場合について、3.2で求めた数理モデルおよびその係数、表-6の栄養塩濃度を用いて、電算機により数値解をえた結果を図-10の下部に示す。栄養塩濃度Pは実験ときわめてよく一致する。これに対し植物プランクトン、動物プランクトンの消長が実験に比し数理モデルは極めて遅い周期で変化する値を示す。このことは3.2で採用した諸係数に誤りがあることを示しており、なお検討を続けていく。

4.まとめ

前回の人間活動、栄養塩発生機構のモデル化に引き続き、富栄養化の中心とも言うべき、湖水中における生物の変化についてモデル化を試みた。王水琵琶湖における栄養塩の得失水質を推定し、次いでVolterra Lotkaの式を中心として式中の係数を検討し、また琵琶湖について実測された諸数値を用いて係数値を求めるこことにより数理モデルを得た。これに対し、300リットル/秒で模型水槽を作り、その中に下水処理水を混入して湖水を入れて理化学的水質、生物相の変化を観測した。その結果、数理モデルと模型実験とは栄養塩濃度の変化は一致するが、植物プランクトン、動物プランクトンの消長の周期が異なることを知った。この実験について現在検討を続けており、完成してから発表すべきであろうか。諸氏の御教示を賜りたいと、本討論会に投稿した次第である。

本実験にあたり、大阪市水道局水質試験所、八木正一所長に水質試験について助力を受けた。謝意を表す。

計算は京都大学大型計算機センターのFACOM 230-60を使用した。



参考文献

- 1) 井上義輝 琵琶湖富栄養化のモデルについて(I)-人間活動と栄養塩等生機構造 土木学会第2回環境問題シンポジウム論文集 昭和49年8月 土木学会
- 2) びわ湖生物資源調査団中間報告書 昭和42年2月 建設省近畿地方建設局
- 3) 土木学会琵琶湖の湖水水質小委 琵琶湖の湖水水質に関する調査報告書 昭和44~47年版 土木学会
- 4) Ahl, T., Effects of Man-induced and Natural Loading of Phosphorus and Nitrogen on the Large Swedish Lakes 第2回水環境問題国際セミナー 昭和49年9月 滋賀県
- 5) Lotka, A.J.; Elements of Mathematical Biology, Dover Pub. Inc., N.Y. (1956)
- 6) Di Toro, D.M., D.J.O'Conner and R.V. Thomann, "A Dynamic Model of the Phytoplankton Population in the Sacramento-San Joaquin Delta", Series 106, Advances in Chemistry Series, American Chemical Society (1971)
- 7) 文献 6) の 141 頁
- 8) 中西正己 植物プランクトンによる基礎生産力, IBP 報告書 琵琶湖生物群集の生産力, 16~19頁 昭和49年3月
- 9) 津田松苗 文献 3) の昭和45年版
- 10) 黄田冠一, 村長義雄, 塩津湾沖縄の水質, IBP 報告書 琵琶湖生物群集の生産力, 12~13頁 昭和49年3月
- 11) 森主一, 沖縄生態系の変遷循環, IBP 報告書 琵琶湖生物群集の生産力 29~31頁, 昭和49年3月
- 12) 滋賀県厚生部, 琵琶湖水質調査結果報告, 昭和47年3月 滋賀県
- 13) Riley, G. A., "Mathematical Model of Regional Variations in Plankton", Limnology and Oceanography Vol 10 Supplementary R 202-R 215 (1965)
- 14) 井上義輝 富栄養化の機構, 特定研究環境汚染制御水処理システムモニタリング, 昭和48年12月 滋賀県大津市
- 15) Oswald, W.J. カリフォルニア大学における講義, 一ト